



Contents

1 导言

2 基础知识

- 托卡马克磁场位型
- 托卡马克力平衡基本概念
- 曲线坐标系

3 托卡马克平衡方程及其求解

- 磁场表征
- Grad-Shafranov平衡方程

4 托卡马克几何处理

- 平衡方程数值解
- 托卡马克几何处理
- 磁面坐标及其度规
- 重要微分几何算子
- 磁面函数与磁面平均
- 重要的平衡与几何效应
- 曲率、 ∇B 与环效应
- Shaping效应
- 安全因子与磁剪切

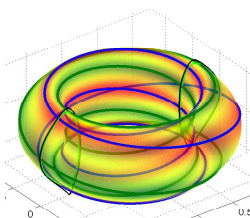


此讲义追求的主要特点概括如下:

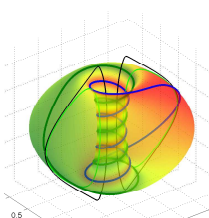
适用于一般形变下的偏滤器托卡马克平衡位型

突出最重要最常用的基本概念

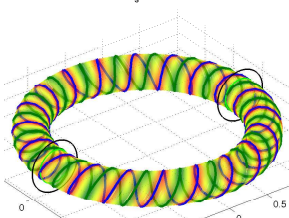
突出平衡位型的处理和应用，而不是平衡理论本身

$q_e=0.05$ 

1.3 Tokamak



1.4 ST



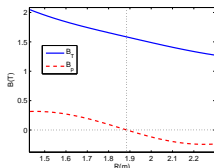
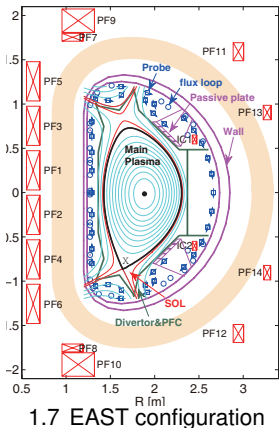
1.5 RFP

- 不同位型下的磁力线的空间曲率（Curvature）及其分布差异很大。
- 有些磁面上的磁力线经过若干圈后可以回到原来的出发点，即， $q = m/n$, m 和 n 分别为绕环向和极向旋转的圈数，该磁面称为有理面（rational surface）。由于其周期性存在共振效应，因此又称为共振面（resonant surface）。有些磁面上磁力线无论经过多少圈后都回不到原来的出发点，即 q 是一个无理数，这些称为无理面（irrational surface）或非共振面（non-resonant surface）。

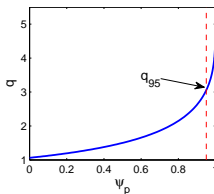
托卡马克几何与平衡



EAST 偏滤器磁场位型特征



1.8 Magnetic field



1.9 q profile

- 最外层磁面以内由嵌套的闭合磁面组成，形成**约束区**。
- 最外层磁面以外有一层很薄的（中平面位置径向1-2cm）开放磁场部分，称为**刮削层（SOL）**，磁力线的尽头通向**偏滤器（Divertor）**，将约束区输运出来的粒子与热导向偏滤器。
- 最外层磁面和SOL区之间**分界线（separatrix）**下方有个 $B_p = 0$ 的鞍点称为 **X point**。
- $B_p/B_T \sim O(\epsilon = a/R_0)$
- $B \approx B_T \propto 1/R$
- 最外层磁面处 $q \rightarrow \infty$ ，定义归一化极向磁通 $\hat{\psi}_p = 0.95$ 处的安全因子为 q_{95} ，其功能与限制器位型下的边界 q 类似。

托卡马克几何与平衡

动量方程



Momentum equation for single fluid model:

$$\rho_m \frac{d}{dt} \vec{V} = \vec{J} \times \vec{B} - \nabla P - \nabla \cdot \vec{\Pi} + \vec{S}_M + \mathcal{O} \quad (1)$$

where

$$\frac{d}{dt} \equiv \frac{\partial}{\partial t} + \vec{V} \cdot \nabla \quad (2)$$

- 方程左边为惯性项。其中第二项为对流项，包含非惯性力和非线性作用。
- 方程右边的前两项反映压力平衡，特征时间是压缩阿尔芬波时间， τ_A 。后几项反映的是等离子体动量输运过程，特征时间是动量约束时间， τ_M 。
- 当我们关心的时间尺度满足 $\tau_A \ll \tau \ll \tau_M$ ，并且 $V \ll C_s$ ，方程的零阶项部分为力平衡方程（即Eq. (1)中的黑色部分）。

力平衡方程



Force balance equation:

$$\vec{J} \times \vec{B} - \nabla P = 0 \quad (3)$$

- 反映了**热压力**与磁场的**洛伦兹约束力**的平衡。
- 压强是**磁面函数**。因此,压力作用使得等离子体在垂直于磁面方向向外膨胀。
- 电流线躺在磁面上。只有**垂直方向的电流**参与力平衡。
- 平衡方程也可以写成

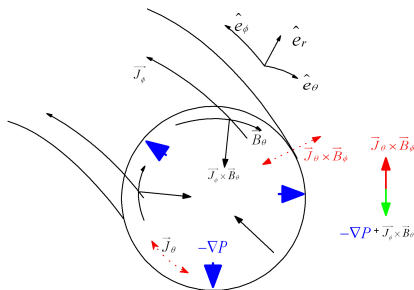
$$\nabla(P + \frac{B^2}{2\mu_0}) - \vec{b}\vec{b} \cdot \nabla \frac{B^2}{2\mu_0} \equiv \nabla_{\perp}(P + \frac{B^2}{2\mu_0}) = \frac{B^2}{\mu_0} \vec{\kappa}$$
 这里 $\vec{\kappa} \equiv \vec{b} \cdot \nabla \vec{b}$ 是磁力线的曲率。



小半径方向力平衡

洛伦兹力可以分解成环向电流和极向电流贡献两部分：

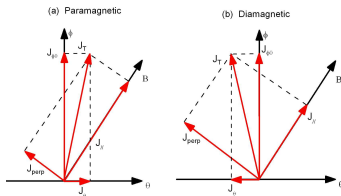
$$\nabla P = \vec{J}_\phi \times \vec{B}_p + \vec{J}_p \times \vec{B}_\phi \quad (4)$$



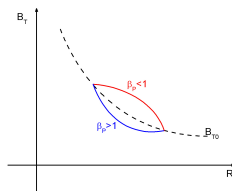
1.13 Force balance

- 热压力总是垂直磁面向外。
- 环向电流贡献项总是垂直磁面向内。
- 极向电流贡献项取决于极向电流的方向。

顺磁、逆磁和极向比压



1.14 Effect of \vec{J}_θ orientation

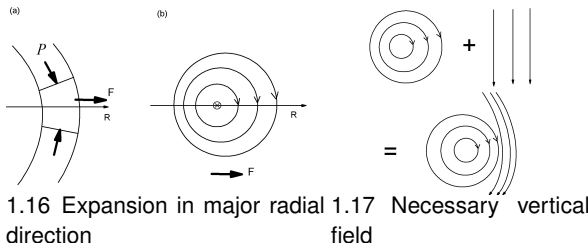


1.15 B_T

- 当 \vec{J}_θ 产生的纵场和外部线圈的纵场方向一致时，称为**顺磁** (paramagnetic)，该项贡献力沿着径向向外，因此极向比压 $\beta_p \equiv 2\mu_0 \langle P \rangle_V / \langle B_p^2 \rangle_{\psi_{ICS}} < 1$ 。
- 当 \vec{J}_θ 产生的纵场和外部线圈的纵场方向相反时，称为**逆磁** (diamagnetic)，该项贡献力沿着径向向内，因此极向比压 $\beta_p > 1$ 。
- 通过测量该电流产生的环向磁通即逆磁通量 $\delta\Phi = \frac{(\mu_0 I_p)^2}{8\pi B_t} (\beta_p - 1)$ ，可以计算出 β_p ，因此，得到内能。



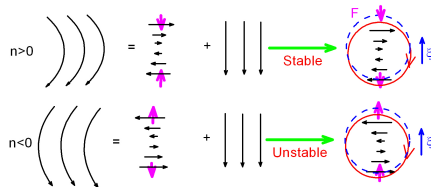
大半径方向力平衡



- 环效应使得等离子体朝大半径方向向外膨胀。
- 需要外加**垂直场**主动控制等离子体水平位移。对于圆截面等离子体，有近似解析解 $B_{VZ} = -\frac{\mu_0 I_p}{4\pi R} (\ln \frac{8R}{a} + \Lambda - 0.5)$ ，这里 $\Lambda \equiv \beta_p + l_i/2 - 1$ 。
- **内感** (internal inductance)， $l_i \equiv \langle B_\rho^2 \rangle_V / \langle B_\rho^2 \rangle_{\psi_{ICS}}$ 。
- 为抵制向外膨胀的热压力，低场侧磁面变密，即芯部磁面会向外移动，称为 **Shafranov shift**。对于圆截面等离子体，有近似解析解 $\Delta = \frac{\epsilon}{2} (\Lambda + 1) a$ ， $\epsilon^{-1} \equiv R/a$ 称为 **Aspect ratio**。



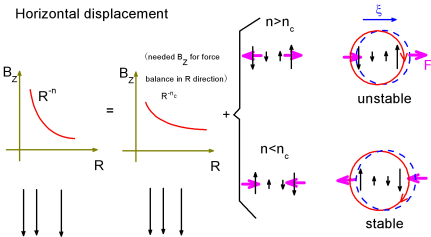
轴对称不稳定性



Magnetic decay index:

$$n = -\frac{R}{B_{VZ}} \frac{\partial B_{VZ}}{\partial R} = -\frac{R}{B_{VZ}} \frac{\partial B_{VR}}{\partial Z} \quad (5)$$

and hence $B_{VZ} \propto R^{-n}$.



■ 垂直位移稳定性条件:

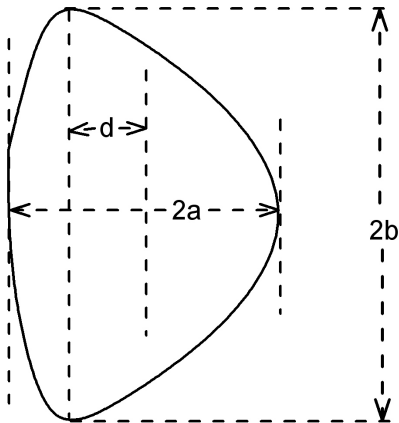
$$n > 0$$

■ 水平位移稳定性条件:

$$n < n_c$$

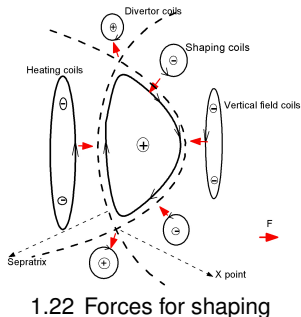
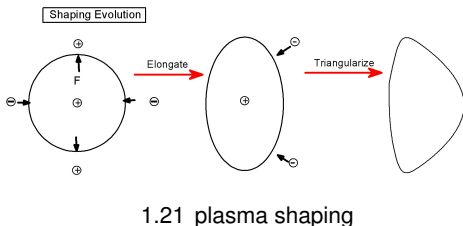
圆截面等离子体下, $n_c = 3/2$ 。

Plasma Shape



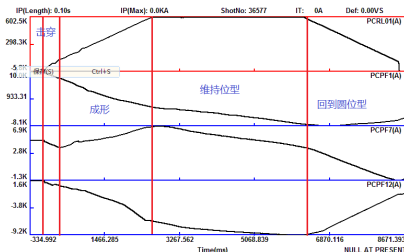
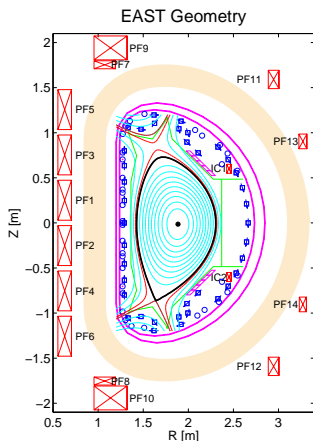
- Elongation: $\kappa = b/a$
- Triangularity: $\delta = d/a$
- 上下非对称时，上下拉长与三角角度可以不同。

Plasma Shaping



- 四极场形成拉长(elongation); 六极场形成三角形变(triangularity)。
- 四极场显然造成 $n < 0$, 因此, 拉长使得垂直位移不稳定。

Example: Shaping in EAST



1.24 EAST discharge

- 拉长主要依靠上下偏滤器线圈。
- $B_{pV} = \sum_j G_j^B I_{PF}^j$, 位移与shaping
- $V_\phi = -\frac{d\psi_p}{dt} = \sum_j G_j^V \frac{dI_{PF}^j}{dt}$, 电流驱动

重要平衡量小结



■ 基本参数:

纵场 B_T , 电流 I_p , 大半径 R_0 , 小半径 a 和 $\epsilon \equiv a/R_0$, 拉长比 κ , 三角度 δ , 归一化极向磁通 0.95 处的安全因子 q_{95} .

■ 基本分布:

等离子体电流分布 (q 分布)、压强分布。

■ 等离子体比压:

$$\beta_p \equiv 2\mu_0 \langle P \rangle_V / \langle B_p^2 \rangle_{\psi_{lcs}} = 1 + \frac{8\pi B_t \delta \Phi}{(\mu_0 I_p)^2} \sim O(1),$$

$$\beta \equiv 2\mu_0 \langle P \rangle_V / B_0^2 \sim O(1\%),$$

$$\beta_N \equiv \beta(\%) [a(m) B(T) / I(MA)] \sim O(1).$$

■ 等离子体内感:

$$l_i \equiv \langle B_p^2 \rangle_V / \langle B_p^2 \rangle_{\psi_{lcs}} \sim O(1).$$

Curvilinear coordinates



- In Cartesian coordinates (x, y, z) , the position of a point $P(x, y, z)$ is determined by the intersection of three mutually perpendicular planes, $x = \text{const}$, $y = \text{const}$, $z = \text{const}$. It can also be determined by **general curvilinear coordinates** (α, β, γ) , if (α, β, γ) are the smooth functions of (x, y, z) and the Jacobian $\mathcal{J} \neq 0$. The Jacobian is defined as

$$\mathcal{J} \equiv \frac{\partial(x, y, z)}{\partial(\alpha, \beta, \gamma)} = [(\nabla\alpha \times \nabla\beta) \cdot \nabla\gamma]^{-1} \quad (6)$$

The differential volume can be written as, $dv = dxdydz = \mathcal{J}d\alpha d\beta d\gamma$.

- In order to describe direction of the fields in the general coordinates, we need to define the base vectors. $(e^\alpha, e^\beta, e^\gamma) \equiv (\nabla\alpha, \nabla\beta, \nabla\gamma)$ are **contravariant coordinates**, and $(e_\alpha, e_\beta, e_\gamma) \equiv (\partial_\alpha \vec{X}, \partial_\beta \vec{X}, \partial_\gamma \vec{X}) = \mathcal{J}(\nabla\beta \times \nabla\gamma, \nabla\gamma \times \nabla\alpha, \nabla\alpha \times \nabla\beta)$ are the **covariant coordinates**. They have the relationship, $e^i \cdot e_j = \delta_{ij}$, and $e_\alpha \times e_\beta = \mathcal{J}e^\gamma$.

A 3D coordinate system with axes labeled α , β , and γ . A green shaded surface is labeled $\alpha = c$. A red vector labeled e_{α} points from the origin towards the surface. A blue vector labeled e^{α} points from the origin perpendicular to the surface, as indicated by a right-angle symbol. The vectors e_{α} and e^{α} are shown to be related by the metric tensor $g_{\alpha\alpha}$.

- $(\alpha = \text{const}, \beta = \text{const}, \gamma = \text{const})$ are the **coordinate surfaces**.
- (α, β, γ) are the **coordinate lines**.
- The contravariant coordinates $(e^\alpha, e^\beta, e^\gamma) \equiv (\nabla\alpha, \nabla\beta, \nabla\gamma)$ are **normal** to the coordinate surfaces
- The covariant coordinates $(e_\alpha, e_\beta, e_\gamma)$ are **tangential** to the coordinate lines.

托卡马克几何与平衡

- $$g_{\alpha\beta} = \mathcal{I}^2[g^{\alpha\gamma}g^{\beta\gamma} - g^{\alpha\beta}g^{\gamma\gamma}] \quad (8b)$$

任意磁场位型表征



From $\nabla \cdot \vec{B} = 0$, the contravariant representation of the magnetic field can be written as,

$$\vec{B} = \nabla\psi_t \times \nabla\theta - \nabla\psi_p(\psi_t, \theta, \zeta) \times \nabla\zeta \quad (11)$$

From Eq. (11), the magnetic field line trajectory can be determined by the equations,

$$\frac{d\psi_t}{d\zeta} = -\frac{\partial\psi_p}{\partial\theta} \quad (12a)$$

$$\frac{d\theta}{d\zeta} = \frac{\partial\psi_p}{\partial\psi_t} \quad (12b)$$

It is equivalent to a Hamiltonian system with a Hamiltonian $\psi_p(\psi_t, \theta, \zeta)$. ψ_t , θ , ζ are the canonical momentum, coordinate and time, respectively.



闭合环位型磁场表征

如果满足 $\psi_p = \psi_p(\psi_t)$, 磁力线形成闭合磁面。

It has $\frac{\partial \psi_t}{\partial \psi_p} = \frac{d\psi_t}{d\psi_p} \equiv q(\psi) = 1/\iota(\psi)$.

For the magnetic field with a closed flux surface, it can be written as so called Clebsch representation,

$$\vec{B} = q\nabla\psi_p \times \nabla\theta - \nabla\psi_p \times \nabla\zeta \quad (13)$$

$$= \nabla\psi_p \times \nabla\alpha \quad (14)$$

where $\alpha \equiv q\theta - \zeta$.

From $\vec{B} = \nabla \times \vec{A}$, one obtains $\vec{A} = \psi_p \nabla\alpha$.

Note: Here $\psi_p = -\Psi_p/2\pi$, $\psi_t = \Psi_t/2\pi$, and Ψ_p and Ψ_t are the physical poloidal and toroidal magnetic flux, respectively.

轴对称磁场表征



For toroidal symmetric tokamak case, the magnetic field can be written as,

$$\vec{B} = \nabla\phi \times \nabla\psi_p + g(\psi_p)\nabla\phi \quad (15)$$

where ϕ is the geometric toroidal angle.

From $|\nabla\phi| = 1/R$, it is obtained that $|\nabla\psi_p| = RB_p$ and $g = RB_t$, and B_p and B_t are the poloidal and toroidal magnetic field, respectively.

Force free equilibrium



If the thermal force can be neglected, i.e. $\nabla P = 0$, the force free solution of the force balance equation can be written as,

$$\nabla \times \vec{B} = \lambda \vec{B} \quad (16)$$

where $\lambda \equiv \mu_0 J_{||} / B$.

From the Taylor relaxation², one obtains that the stable equilibrium, i.e. minimum energy state, requires

$$\lambda \equiv \text{constant} \quad (17)$$

The finite radial gradient of λ is the driving force for the tearing instability.

²J. B. Taylor. In: *Rev. Mod. Phys.* 58 (1986), p. 741.

- P 和 g 是磁面函数, J_ϕ 不是磁面函数.



G-S 方程解法

- 在简单几何位型或者动理学分布假设下，G-S方程可以被解析求解。
- 复杂的几何位型如偏滤器位型，同时具有一般的动理学分布，解析求解非常困难，通常需要数值解。
- 平衡反演数值求解方法举例：
 - 丝电流算法。这种方法适合于求解边界处磁通分布，给出最外层磁面分布信息。优点：算法简单，计算量小，适合于等离子体位型控制。缺点：无法给出其他平衡分布。
 - EFIT³算法。如果约束条件（各种等离子体分布参数测量）足够，这种算法可以给出很精确的平衡解。做位型实时控制时，为了加快运算速度，通常也需要做简化运算。

³L. L. Lao et al. In: *Nucl. Fusion* 25 (1985), p. 1611.



丝电流平衡反演

- 如果我们只是关心最外层磁面附近的极向磁通分布，可以忽略G-S方程的右边的分布形式，把内部的环向等离子体电流等效成 M 个电流 $\text{丝 } I_{t,k} |_{k \in [1, M]}$.
- By using the least square fitting,

$$\chi^2 = \frac{1}{N} \sum_{j=1}^N \frac{[\psi_{ps,j}^* - \psi_{ps,j}^c(I_t)]^2}{\sigma_j^2} \quad (23)$$

where

$$\psi_{ps,j}^c = \sum_{k=1}^{k=M} G_{ps,j} I_{t,k} + \sum_i G_{exs,ij} I_i^{ex} \quad (24)$$

and $\psi_{ps,j}^*$ is the measured value of the j^{th} sensor, G_* are the mutual inductances, and σ_j is the error bar of the j^{th} sensor.

- The poloidal flux distribution can be found by using the Green function method,

$$\psi_{p,j} = \sum_{k=1}^{k=M} G_{pp,j} I_{t,k} + \sum_i G_{exp,ij} I_i^{ex} \quad (25)$$

EFIT算法— Fitting toroidal current profile



- Iteration method with an initial guess of $\psi_p = \psi_{p,0}$ is used to solve this non-linear second order differential equation.
- The terms P' and gg' are represented by some truncated base functions of ψ_p ,

$$P' \equiv \sum_{m=0}^M \alpha_m \Phi_m(\psi_p) \quad \text{and} \quad gg' \equiv \sum_{n=0}^N \beta_n \Phi_n(\psi_p) \quad (26)$$

At the step l , the coefficients α_{ml} and β_{nl} , and hence the toroidal current profile, are determined by minimization

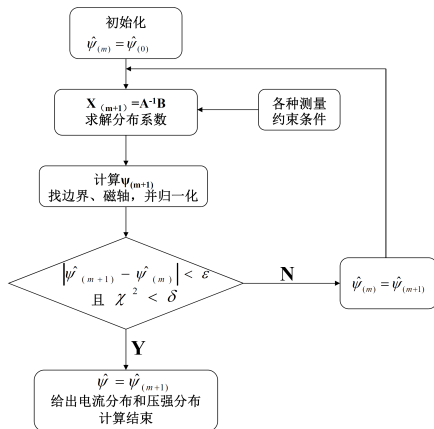
$$\chi^2 = \frac{1}{k} \sum_{j=1}^k \frac{[\psi_{ps,j}^* - \psi_{ps,j}^c(\alpha_m, \beta_n)]^2}{\sigma_j^2} \quad (27)$$

where

$$\psi_{ps,j}^c = \int G_{ps,j} J_t(\alpha_{ml}, \beta_{nl}, \psi_{p,l-1}) ds_\phi + \sum_i G_{exs,ij} I_i^{ex} \quad (28)$$



EFIT反演算法-小结



■ EFIT输出包括:

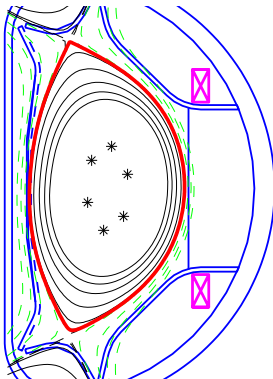
$\psi_p(R, Z);$
 $P(\psi), P';$
 $g(\psi), g';$
 $q(\psi), l_i, \beta$ etc.

■ EFIT平衡算法可以通过将反演算法中的测量值改为设定值来实现。

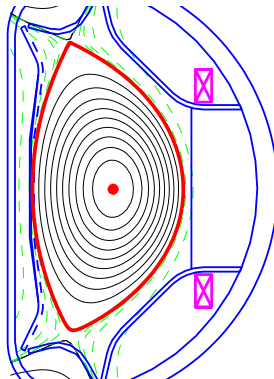
1.26 EFIT平衡反演流程



EAST上平衡反演磁通分布举例



1.27 丝电流平衡反演



1.28 EFIT平衡反演

- 这里 ϕ 是装置几何环向角, (R, ϕ, Z) 为柱坐标系, δ 是 θ 的周期函数。

$$q(\psi_p) \equiv \frac{1}{2\pi} \oint \frac{B^\zeta}{B^\theta} d\theta = \frac{\hat{V}'}{\psi'_p} g \langle 1/R^2 \rangle_\psi \quad (39)$$

- If $i = 0$, $j = 0$, $k = 2$, the coordinates will be Boozer coordinates. It has $\mathcal{J}_0 = 1/B^2$, and $\mathcal{J} = \hat{V}' < B^2 >_\psi / B^2$.

托卡马克几何与平衡

平衡与不稳定性及输运约束的关系

- 平衡分布梯度是宏观和微观不稳定性的驱动源。
- 不稳定性的边界决定了稳定平衡的存在区间。
- 输运决定了等离子体平衡的演化。
- 平衡决定的几何位型对不稳定性和输运有着重要影响。
- 平衡的磁场位型影响粒子的运动轨道，进而影响等离子体输运与约束。

托卡马克几何与平衡

到此結束，希望有點用！